

# خواص مکانیکی نخهای مخلوط

مجید صفرجو هری  
استادیار

محمد حقیقت‌کیش  
دانشیار

دانشکده مهندسی نساجی، دانشگاه صنعتی امیرکبیر

## چکیده

نتایج تجربیات در رابطه با تعیین تأثیرات نسبت مخلوط‌ها روی خواص کششی نخهای مخلوط دو و سه جزئی گزارش شده است. نخهای مخلوط پنبه - پلی‌استر، پنبه - پلی‌پروپیلن و پنبه - ویسکوز، به روش ریسندگی الیاف کوتاه و نخهای مخلوط پشم - اکریلیک، پشم - پلی‌استر، اکریلیک - پشم و اکریلیک - پلی‌استر به روش ریسندگی نیمه فاستونی تولید گردید. خواص مکانیکی توسط دستگاه اینسترون اندازه‌گیری شد. نتایج اندازه‌گیری استحکام، ضریب کشسانی و ازدیاد طول گسیختگی با مقادیر محاسبه شده از منحنیهای مربوط به نخهای خالص مقایسه گردید و اختلاف بین نتایج محاسبه و تجربیات بر مبنای نتایج پیشنهادی جاری توجیه شده است.

## Tensile Mechanical Properties of Blended Yarns

M. Haghigat Kish  
Associate Prof.

M. S.Johari  
Assistant Prof.

Textile Eng. Dept. Amirkabir Univ. of Tech.

### Abstract

The results of an investigation on the effects of blend proportions on tensile mechanical properties of two - component and three - component blended staple fiber yarns are reported. Cotton / polyester, cotton/ polypropylene, cotton/viscose were produced in cotton spinning system. Polyester/wool, acrylic/wool, polyester/acrylic and wool/ acrylic/ polyester blended yarns were produced in a semi - worsted spinning system.

Tensile mechanical properties of yarns were measured by an Instron tensile tester. The measured strength, initial modulus and breaking elongations of blended yarns were compared with those calculated from stress - strain relations of single component yarns. The differences were explained with reference to the published literature.

### ۱- مقدمه

کیفیتهای متفاوت برای تولید نخ از گذشته‌های دور مرسوم بوده و احتمالاً به دلایلی از قبیل مصرف الیاف پست‌تر و کاهش قیمت نخ صورت می‌گرفته است [۱، ۲ و ۳]. از اواسط دهه چهل (۱۹۴۰) که الیاف بشر ساخت، وارد بازار مصرف جهانی با

نخهایی که از چند نوع الیاف منقطع با خواص مکانیکی متفاوت توسط ریسندگی‌های متداول تولید می‌گردند، نخهای مخلوط نامیده می‌شوند. فرآیند مخلوط کردن الیاف طبیعی با

## ویژگیهای الیاف و نخ معلوم شود.

به منظور بدست آوردن روابطی که ویژگیهای یک نخ را به خواص و مقدار نسبی الیاف مرتبط سازد کوشش‌های قابل توجهی صورت گرفته است. برای دستیابی به چنین روابطی در مقالات منتشر شده هر دسته از خصوصیات بطور جداگانه مورد بحث قرار گرفته‌اند. خواص مکانیکی از قبیل استحکام، ازدیاد طول تاحد پارگی و ضریب کشسانی از جمله خصوصیاتی می‌باشند که شاید به علت اهمیت آنها در مراحل تولیدی و مصرف و نیز به علت سهولت در اندازه‌گیری تاکنون بیشتر مورد توجه قرار گرفته‌اند [۵ تا ۱۶].

در مقاله حاضر موضوع خواص کششی (tensile) نخهایی که از الیاف متفاوت، پنبه - پلی استر، پنبه - پلی پروپیلن، پنبه - ویسکوز، پشم - اکریلیک - پلی استر - اکریلیک، پشم - پلی استر - اکریلیک ساخته شده‌اند به استناد تجزیه‌یاتی که دانشجویان داشکده مهندسی نساجی در چند سال گذشته انجام داده‌اند مورد توجه قرار گرفته است. تفاوت رفتار الیاف در محیط‌های متفاوت با توجه به تئوریهای موجود توجیه و مورد بحث قرار گرفته و بالاخص روشهای پیش‌بینی خواص مکانیکی کششی نخ مخلوط از نخهایی که از هر یک از اجزاء ساخته شده‌اند مقایسه شده است.

## ۲-نظریه‌ها

ارتباط بین تنش الیاف و تنش نخهای همگن (نخهایی که از یک نوع الیاف ساخته شده‌اند) و مداوم با ساختار آرمانی (ideal) توسط تجزیه تنشها [۱۴] و یا براساس اصل بقای انرژی [۱۷ و ۱۸] مشخص شده است.

با استفاده از فرضیات ساده کننده‌ای در نخهایی که از الیاف منقطع ساخته شده‌اند، استحکام قابل محاسبه می‌باشد [۴، ۵ و ۹]. برای نخهای مخلوط که از دو نوع الیاف ساخته شده باشند کیم (Kim) و الشیخ (Elshiekh) [۱۲ و ۱۳] روش بقای انرژی را بکار گرفتند و با توجه به هندسه نخ، منحنی تنش کرنش نخ مخلوط را با ساختمان آرمانی از منحنی تنش کرنش اجزاء محاسبه نمودند. لرد (Lord) و همکارانش [۱۱] برای نخهای مخلوطی که به طریقه ریستندگی چرخانه تولید می‌شوند روابط تجربی پیشنهاد نموده‌اند.

روشهای فوق مبتنی بر فرضیات متعدد و گاه متناقض با واقعیات عملی است. از این‌رو برای روشن شدن تأثیرات آنها باید

گرددید استفاده از مخلوط الیاف، بسیار رایج شده است [۲]. امروزه تولیدکنندگان نخ بخوبی دریافت‌های مخلوط کردن صحیح و مناسب الیاف منتهی به کمالی باکیفیت بسیار ارزان‌تر از نظر برخی از خواص خواهد شد. در فرآیند مخلوط کردن، سعی می‌گردد از الیافی با خواص مکمل یکدیگر استفاده شود. پارچه‌های ساخته شده از دو نوع الیاف دارای خواص بین پارچه‌هایی است که به تنها یکی از الیاف ساخته شده‌اند. برای مثال پارچه‌هایی که از مخلوط الیاف پنبه و پلی استر تولید شده‌اند دارای خاصیت جذب رطوبت بیشتری از پارچه‌هایی که از الیاف پلی استر خالص درست شده‌اند، می‌باشند و دوام و اتوپذیری آنها از پارچه‌های پنبه خالص به مراتب بهتر می‌باشند. ارتباط بین خواص نخ، مقدار و خواص الیاف را نمی‌توان بسادگی بیان نمود. زیرا برخی از خواص الیاف به تناسب با یکدیگر جمع‌پذیر نیستند و باید موقعیت مکانی الیاف در نخ مشتمله را مورد توجه قرارداد. برای مثال در یک تجربه تحقیقاتی [۴] دو نوع الیاف را که یکی دارای ضریب کشسانی کم و دیگری ضریب کشسانی زیاد و دارای دو رنگ متمایز مشکی و سفید بودند را با هم مخلوط و از نخ تولید شده پارچه تهیه نمودند. پس از بررسی مشاهده شد که الیاف با ضریب کشسانی بیشتر (مشکی) سطح پارچه را می‌پوشاند و رنگ پارچه به نسبت رنگهای دو جزء نبود. در این صورت کوچ (مهاجرت) الیاف به سطح بیرونی نخ که حاصل تأثیر اختلاف در ضریب کشسانی در مکان الیاف در نخ در حین شکل گرفتن است را باید در رنگ پدیدار شده به حساب آورد. کوپلان (Coplan) [۲] برای نمونه‌ای از نخهای مخلوط نایلون و پشم ملاحظه نمود که مقاومت خمی نخهای نایلون خالص و پشم خالص با هم برابرند لیکن مقاومت خمی نخهایی که از مقدار کمی نایلون و مقدار زیادی پشم درست شده‌اند به مقدار قابل توجهی از نخهای خالص بیشتر می‌باشد. این افزایش مقاومت خمی به خصوصیت پرکننده‌گی الیاف نایلون در نخ مخلوط نسبت داده شده است و باید در محاسبه مقاومت خمی نخ مخلوط از مقاومت خمی اجزاء، آن را نیز بحساب آورد.

روابط بین ویژگیهای الیاف و ویژگیهای نخ از اهمیت زیادی برخوردار است. تنوع الیاف این اهمیت را بیشتر می‌کند. نخها با ویژگیهای متفاوت، دارای کاربردهای گوناگونی هستند و برای هر مصرفی باید نخ مناسب طراحی و تولید گردد. برای طراحی و تولید یک نخ مناسب جهت کاربردی خاص باید روابط بین

به انجام آزمایشات متعدد پرداخت و اصول اساسی را مورد توجه قرارداد. این مهم در مقاله حاضر مورد مطالعه قرارگرفته است.

### ۳- استحکام

برای یک نخ که از دو نوع الیاف A و B ساخته شده باشد ابتدائی ترین رابطه بین استحکام (تش گسیختگی) نخ مخلوط ( $S_y$ ) و نسبت اجزاء در مخلوط و استحکام اجزاء همان قانون ساده مخلوطها است که بصورت رابطه (۱) شان داده می‌شود.

$$S_y = a.S_A + b.S_B \quad (1)$$

در این رابطه  $a$  و  $b$  کسر وزنی اجزاء مخلوط می‌باشد. برای بدست آوردن رابطه ساده فوق فرض می‌شود الیاف A و B بصورت موازی کنار یکدیگر قرار می‌گیرند که در اثر تش اعمالی از دیاد طول یکسانی را می‌دهند. در این صورت کنش نخ برابر کرش اجزاء و ضریب کشسانی نخ مخلوط ( $E_y$ ) نیز از رابطه (۲) قابل محاسبه است.

$$E_y = aE_A + bE_B \quad (2)$$

که در این رابطه  $E_A$  و  $E_B$  عبارتند از ضریب کشسانی اجزاء A و B در نخ مخلوط.

در سال ۱۹۴۹ میلادی همبرگر (Humberger) [۱۵] که اهمیت منحنیهای تش کرش را توضیح می‌داد، رابطه (۱) را اصلاح نمود. به نظر این محقق، نقطه پارگی یک نخ، نقطه‌ای است که تش در منحنی تش - کرش حد اکثر می‌گردد و از این رو تارسیدن به این نقطه جزء ضعیف ممکن است پاره گردد لیکن نخ در مجموع نیروی اعمالی را تحمل نماید. در این صورت تا هنگام پاره شدن جزء ضعیف قانون ساده مخلوطها برقرار خواهد بود، و پس از آن، مقدار تشی که جزء دیگر تحمل می‌کند، را باید به حساب آورد. بنابراین رابطه (۱) را بصورت روابط (۳) اصلاح نمود.

$$S_y = \text{MAX}(S_1, S_2) \quad (3-\text{الف})$$

$$S_1 = a.S_A + b.S_{B,A} \quad (3-\text{ب})$$

$$S_2 = b.S_B \quad (3-\text{ج})$$

در این روابط  $S_{B/A}$  عبارت است از تنشی که جزء B هنگام پاره شدن جزء A (جزء A دارای از دیاد طول گسیختگی کمتری است) تحمل می‌کند. بدیهی است رابطه (۳-ب) برای وقتی که کرش نخ کمتر از کرش گسیختگی جزء A است یعنی  $a < b$  و رابطه (۳-ج) برای وقتی که کرش نخ بیشتر از کرش

گسیختگی جزء A است یعنی  $b > a$  صادق است.  
در سال ۱۹۵۵ میلادی کمپ (Kemp) و اون (Owen) [۶] ملاحظه نمودند که هر چه نخ مخلوط پنبه و نایلون بیشتر کشیده می‌شود متوسط طول الیاف پنبه در نخ به تدریج کوتاهتر می‌گردد. این مشاهدات نشان داد که لازم است تأثیر الیاف پنبه‌ای که یک یا چند بار پاره شده‌اند را در تحمل نیرو به حساب آورد. همانگونه که ملاحظه می‌گردد نمی‌توان تصور نمود که رفتار کششی الیاف در نخ همان رفتار الیاف به صورت مجزا باشد. فشارهای جانبی وارد بر الیاف در نخ، امکان از دیاد طول یافتن بیش از حد معمول خود الیاف (الیاف بصورت آزاد) را ممکن می‌سازد.

با استفاده از میکروسکوپ الکترونی پوشی مجهر به وسیله کوچک کشش‌دهنده نخ برای نخ مخلوط پنبه پلی استرنیز ملاحظه شده است که الیاف پنبه به طور اتفاقی در طول نخ قبل از پلی استرن پاره می‌شوند [۱۹]. اون [۱۲] روش‌های را برای پیش‌بینی تغییرات کرنش و تش گسیختگی بر حسب درصد اجزاء مخلوط پیشنهاد نموده است که مستلزم استفاده از چند ضریب تجربی و برونویایی متعدد می‌باشد، تا در نهایت نقش الیاف پاره شده و هندسه نخ را به حساب آورند.

آزمایش‌های که توسط مونگو (Monego) و بکر (Backer) [۸] از سال ۱۹۶۸ به بعد با استفاده از یک نمونه بزرگ ساخته شده از نخهای مخلوط پنبه و نایلون انجام گرفت نشان داد که همواره فشارهای جانبی که به هر یک از الیاف در اثر وجود تاب وارد می‌گردد بر میزان پاره شدن‌های متواലی مؤثر است. الیافی که در سطح خارجی نخ قرار دارند فشارهای جانبی چندانی را تحمل نمی‌کنند و تعداد پاره شدن‌های آنها کمتر است و هنگامی که الیاف در مرکز نخ قرار می‌گیرد دچار بیشترین تعداد پارگی می‌گردند. فشارهای جانبی درون نخ دارای اهمیت بسیار زیادی است زیرا این مشاهدی فشاری است که الیاف را با هم درگیر می‌کند به نحوی که تش کششی از یک لیف به لیف دیگر منتقل می‌گردد. اگر این مشاهدی فشاری در نخی که از الیاف منقطع ساخته شده است نباشد در این صورت وقتی که نخ تحت تأثیر نیروی کششی قرار می‌گیرد الیاف از روی هم می‌لغزنند. از این رو الیاف بخودی خود نمی‌توانند نقشی در استحکام دادن به نخ ایفاء نمایند. هنگامی که این مشاهدی فشاری در حد مطلوبی باشد تش کششی وارد شده به نخ، به نوبت به لیف منتقل می‌گردد و وقتی تنش کششی به اندازه معینی بر سر لیف پاره می‌شود. در هنگام

$$K = 1 - d \cdot x \quad (1-x)$$

که مقدار ثابت  $d$  از نتایج آزمایشات با استفاده از روش آماری کمترین مرباعات برابر  $7 \times 0 = 49$  بودست آمده است.

راتنام و همکاران [٧] برای توجیه رابطه غیرخطی ٦-الف)

معتقدند که میزان کل تغییرات (Variance) از دیاد طول گسیختگی الیاف در نخ از رابطه ٦-ب) پیروی می‌کند.

$$\delta^2 = x(1-x)(b_c - b_a)^2 \quad (6-ب)$$

که در این رابطه  $b_a$  و  $b_c$  میانگین از دیاد طول گسیختگی الیاف ویسکوز و پنه می‌باشد. بنابراین  $K$  یعنی ضریب بکارگیری باید تابع درجه دومی از  $x$  بصورت رابطه ٦-ب) باشد. در این صورت به علت اختلاف در از دیاد طول گسیختگی الیاف استحکام نخ مخلوط از حاصل جمع استحکامهای اجزاء با درنظر گرفتن نسبتهای مربوطه (رابطه ١) کمتر می‌گردد، در هر حال بطوری که ملاحظه می‌گردد مقادیر  $K_1$  و  $K_2$  بیشتر یک ثابت تجربی هستند.

در این مقاله سعی می‌شود که قابلیت انطباق روابط (٣)، (٤) و (٥) با نتایج تجربی مشخص گردد.

#### ٤- نخهای سه جزئی

در مورد نخهایی که از سه نوع الیاف تولید شده‌اند زورک (Zurek) [٩] معتقد است که همان اصول مورد استفاده برای نخهایی که از دو نوع الیاف ساخته شده‌اند قبل استفاده می‌باشد. از این رو می‌توان روابط (٤) را به صورت روابط (٧) توسعه داد.

$$S_y = \text{Max} (S_1, S_2, S_3)$$

$$S_1 = a \cdot S_A + b \cdot S_{B/A} + c \cdot S_{C/A}$$

$$S_2 = a \cdot Z \cdot S_A + b \cdot S_B + c \cdot S_{C/B} \quad (7)$$

$$S_3 = a \cdot Z \cdot S_A + b \cdot Z \cdot S_B + c \cdot S_C$$

در این روابط  $Z$  مقداری ثابت فرض شده است.  $S_A$ ،  $S_B$ ،  $S_C$ ،  $S_{B/A}$ ،  $S_{C/A}$  و  $S_{C/B}$  نخهایی که از اجزاء  $A$ ،  $B$ ،  $C$  به ترتیب ساخته شده‌اند.  $a$ ،  $b$  و  $c$  به ترتیب تنشهایی است که اجزاء  $B$  و  $C$  هنگام پاره شدن جزء  $A$  تحمل می‌کنند و  $S_{B/A}$ ،  $S_{C/A}$  و  $S_{C/B}$  به ترتیب تنشهایی است که از اجزاء  $A$  و  $B$  تشکیل شده و دارای ساختاری کاملاً مشابه با نخ مخلوط است بدست می‌آیند. زورک [٩] با توجه به نظریه ضعیفترین نقطه مربوط به پیرس (Pierce) [٢٠]، استحکام نخ مخلوط به طولهای بلند را به استحکام نخ با طولهای کوتاه مربوط ساخت.

راتنام (Ratnam) و همکاران [٧] برای نخهای مخلوط پنه ویسکوز رابطه دیگری بصورت رابطه (٥) پیشنهاد نموده‌اند.

وقتی یک لیف در نخ پاره می‌شود توزیع تنش در طول لیف مجاور نیز دگرگون می‌گردد و باید لیف مجاور عدم لیف پاره شده را جبران نماید. اگر نوع آن از همان نوع لیف پاره شده باشد دارای تنش و از دیاد طول تا حد پارگی برابر بوده و تحمل نیرو را نخواهد کرد و پارگی به سرعت منتشر می‌شود. لیکن اگر لیف مجاور از جنس دیگری باشد که تحمل نیرو را داشته باشد نخ پاره نمی‌شود.

با توجه به تأثیر عواملی که در فوق اشاره شد و با درنظر گرفتن ویژگیهای نخهای کاملاً "مشابه" زورک (Zurek) [٩] روابط (٣) را بصورت روابط (٤) تغییر داد.

$$S_y = \text{Max} (S_1, S_2) \quad (4)$$

$$S_1 = a \cdot S_A + b \cdot S_{B/A} \quad (4)$$

$$S_2 = Z \cdot a \cdot S_A + b \cdot S_B$$

در این روابط  $Z$  یک مقدار ثابت است که تاثیرات الیاف پاره شده و عوامل دیگر را به حساب خواهد آورد. مقادیر  $S_A$ ،  $S_B$  و  $S_{B/A}$  به ترتیب تنش در موقع پارگی جزء  $A$  و  $B$  و تنشی که جزء  $B$  هنگام پاره شدن جزء  $A$  تحمل می‌کند، می‌باشند که از منحنیهای تنش کرنش نخهایی که از جزء  $A$  و  $B$  تشکیل شده و دارای ساختاری کاملاً مشابه با نخ مخلوط است بدست می‌آیند. زورک [٩] با توجه به نظریه ضعیفترین نقطه مربوط به پیرس (Pierce) [٢٠]، استحکام نخ مخلوط به طولهای بلند را به استحکام نخ با طولهای کوتاه مربوط ساخت.

راتنام (Ratnam) و همکاران [٧] برای نخهای مخلوط پنه ویسکوز رابطه دیگری بصورت رابطه (٥) پیشنهاد نموده‌اند.

$$S_y = K_1 S_c (1-x) + K_2 S_v x \quad (5)$$

که در این رابطه  $S_c$  و  $S_v$  استحکام نخ پنهای و ویسکوز با تاب پنهای،  $x$  کسر وزنی ویسکوز در نخ مخلوط و  $K_1$  و  $K_2$  مقادیر ثابتی هستند که بستگی به مقدار ویسکوز در نخ دارد. برای نخ مخلوط ویسکوز-پنه  $K_1 = K_2 = K$  فرض گردید و ضریب "بکارگیری" نامیده شده است. مقدار ثابت  $K$  از درصد مخلوط پنه ویسکوز از رابطه تجربی (٦-الف) محاسبه می‌گردد.

#### ٥- از دیاد طول گسیختگی

نتایج تجربی در اندازه‌گیری از دیاد طول گسیختگی نخ،

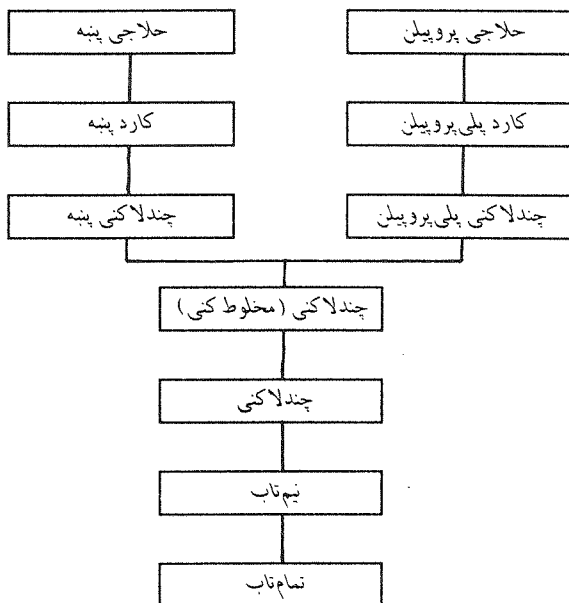
## ۷-تجربیات

### ۷-۱-مواد و روش تولید

الیاف: پنبه مورد استفاده در تحقیقات انجام شده از مناطق شمالی کشور تهیه شده است. الیاف پشم مصرفی از کشور نیوزلند، الیاف اکریلیک و پلی استر از کارخانجات پلی اکریل ایران و الیاف پلی پروپیلن از کمی لیتر (Chemi Linz) اتریش تأمین شده است.

تولید نخ: نخهای مورد آزمایش از طریق دو روش ریستنگی تهیه شده اند. نخهای مخلوط پنبه - پلی استر، پنبه - ویسکوز و پنبه - پلی پروپیلن با روش ریستنگی الیاف کوتاه که شامل مراحل حلاجی، کارد کردن، چندلاکنی (مخلوط کردن و کشش)، نیم تاب و تمام تاب است تولید شده اند. نمودار مسیر مواد برای تولید نخهای مخلوط پنبه - پلی پروپیلن در شکل (۱)، نشان داده شده است. لازم به ذکر است که برای تولید نخهای پنبه - پلی استر و پنبه - پروپیلن مخلوط کردن در مرحله اول چندلاکنی انجام گرفته است. نخهای مخلوط پنبه - ویسکوز مانند روش فوق تهیه شده لیکن عمل مخلوط کردن در مرحله آخر حلاجی (و بر روی ماشین بالش) انجام گرفته است.

نخهای مخلوط پشم - اکریلیک، پشم - پلی استر، پلی استر - اکریلیک و پشم - اکریلیک - پلی استر به روش ریستنگی نیمه فاستونی شامل سه مرحله شانه زنی (gill box)، نیم تاب و تمام تاب تولید شده است. مخلوط کردن در شانه زنی اول انجام گرفته است.



شکل (۱) مراحل تولید نخ مخلوط پنبه پلی پروپیلن [۲۷]

زمانی که تأثیر تاب مورد توجه قرار می گیرد و نیز هنگامی که تأثیر درصد مخلوط ارزیابی می شود، روند پیچیده ای را نشان می دهد [۴].

برای نخی که دارای ساختار "آرمانی" باشد می توان فرض کرد لیفی که در مرکز قرار می گیرد مستقیم و فاقد تاب بوده، و همان رفتار لیف بطور مجرزا را دارا باشد. بر این اساس در مورد چنین نخی از دیاد طول گسیختگی باید مقدار ثابت و مستقل از تاب باشد. برای نخهایی که از الیاف کوتاه ساخته شده اند چنانچه پاره شدن نخ فقط در اثر پاره شدن الیاف باشد و لغزش آنها اهمیت چندانی نداشته باشد این توجیه نیز قبل قبول است.

در مورد نخهای مخلوط آنطور که محققین [۱۰ و ۱۱] استحکام را مورد توجه قرار داده اند، به از دیاد طول گسیختگی توجیه نداشته اند که شاید به علتِ واپستگی ضمنی تشن به کرنش باشد. زورک [۹] یک روش تقریبی برای محاسبه از دیاد طول گسیختگی نخ مخلوط از از دیاد طوز گسیختگی اجزاء ارائه می نماید. این روش بر اساس محاسبه منحنی تشن کرنش نخ مخلوط از حاصل جمع تنشهای مربوطه با درنظر گرفتن نسبت حرمری اجزاء است. در هر حال دو نظریه در مورد تأثیر درصد مخلوط بر از دیاد طول گسیختگی می توان یافند. بر اساس یکی از آنها، تا درصد معینی از مخلوط، از دیاد طول گسیختگی برابر با از دیاد طول گسیختگی یکی از اجزاء است و چون از درصد معینی تجاوز شد به تدریج درصد از دیاد طول گسیختگی نخ به درصد از دیاد طول گسیختگی جزء دوم خواهد رسید.

نظر دوم این است که چون از دیاد طون گسیختگی تابع معینی از تشن در موقع پارگی است بنابراین می توان همان رابطه (۴) یا (۸) که در خصوص استحکام مورد استفاده قرار می گیرد را، در مورد از دیاد طول گسیختگی نیز، مورد استفاده قرارداد. در این صورت تنشها تبدیل به از دیاد طول گسیختگی مربوطه می گردد.

## ۸-ضریب کشسانی

با توجه به تعریف ضریب کشسانی نخ، که عبارت است از شبی منحنی تشن کرنش در مبدأ مختصات که در نتیجه اندازه گیری در تنشهای بسیار کم به دست می آید، انتظار می رود که رابطه بین ضریب کشسانی نخ مخلوط و ضریب کشسانی اجزاء آن از قانون ساده مخلوطها برای نمایشگر موائزی الیاف که در ابتدا شرح داده شده (رابطه ۲) تبعیت کند.

## ۸- روشهای آزمایش

طول الیاف پشم، اکریلیک و پلی استر با استفاده از روش صفحه روفن زده [۲۱] و طول الیاف پنه با استفاده از فایرگراف [۲۲] اندازه گیری شده است. قطر الیاف پشم، پلی استر، اکریلیک و پروپیلن بوسیله میکروسکوپ و ظرافت الیاف پنه بوسیله دستگاه میکرونر [۲۳] اندازه گیری شده است. نمره نخ از طریق توزین طول یکصد متر آن اندازه گیری شده است. خواص مکانیکی (منحنی نیرو و ازدیاد طول) توسط دستگاه اینسترن با فاصله فکهای ۵۰ سانتیمتر اندازه گیری شده است [۲۴].

ویژگیهای الیاف مصرفی و محدوده نمره و ضربت تاب نخهای تولیدی در جدول (۱) نشان داده شده است. تمام نخها بر درصدهای مختلفی از الیاف متفاوت تولید شده اند که به جهت اختصار از ذکر خواص تک تک آنها خودداری شده است. ضربت تاب نخهای مورد آزمایش در هر مورد با ضربت تاب بهینه نخ تفاوت قابل ملاحظه ای نداشته است. این موضوع با آزمایش نخها با ضربت تابهای متفاوت محرز شده است.

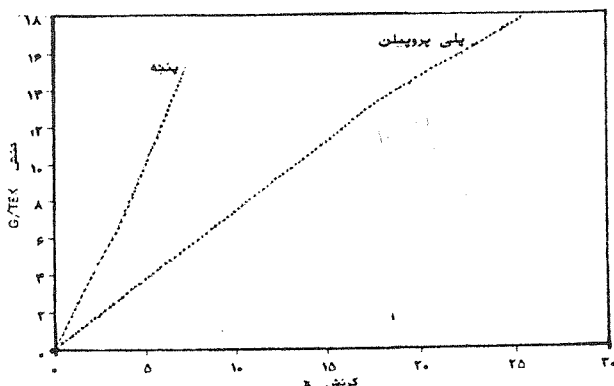
جدول (۱) مشخصات الیاف مصرفی و نخهای تولید شده

ضریب تاب tex (TPC) ۰/۵	نمره نخ tex	خواص الیاف مصرفی			الیاف مصرفی	نخ تولیدی
		ظرافت	طول mm			
۳۶/۷	۳۰	عدد میکرونر ۴/۰	۲۷	پنه	پنه - پلی استر	
		تکس ۰/۱۶	۳۸	پلی استر		
۴۱/۱	۲۹/۵	عدد میکرونر ۴/۰	۲۸۰/۰/۸	پنه	پنه - پلی پروپیلن	
		قطر = ۰/۳۸ ± ۰/۱	۳۸	پلی پروپیلن		
۳۶/۷	۲۹/۵	عدد میکرونر ۳/۸	۲۷	پنه	پنه - ویسکوز	
			۳۸	ویسکوز		
۲۵/۰۰	۲۰	تکس ۰/۵۷	۹۵	پشم	پشم - اکریلیک	
		تکس ۰/۳۴	۱۴۰	اکریلیک		
۲۸/۰۰	۲۴	تکس ۰/۲۳	۱۰۵	پشم	پشم - پلی استر	
		تکس ۰/۴۷	۷۵	پلی استر		
۲۵/۵۰	۲۰	تکس ۰/۲۲	۸۳	پلی استر	پلی استر - اکریلیک	
		تکس ۰/۳۴	۱۰۵	اکریلیک		
۳۰-۴۰	۲۴-۲۶	تکس ۰/۵	۱۰۴ ± ۸	پشم	پلی استر - پشم - اکریلیک	
		تکس ۰/۳۷	۹۰ ± ۴	پلی استر		
		تکس ۰/۳۳	۱۲۴ ± ۸	اکریلیک		

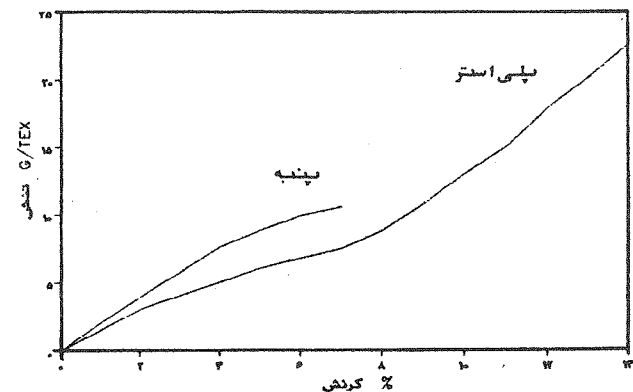
اختلاف آنها با نتایج تجربی قابل ملاحظه می‌باشد. به نظر می‌رسد که مقدار K را باید به مؤلفه‌های آن یعنی  $K_1$  و  $K_2$  (رابطه ۵) تبدیل نمود. برای نخهای مخلوط پنبه پلی‌استر که بواسیله ریستندگی معمولی (رینگ) و یا توسط ریستندگی چرخانه‌ای تولید شده باشند [۱۱] روند تغییرات مشابهی مشاهده شده است.

همانطور که ملاحظه شد با افزایش مقدار جزئی الیاف پلی‌استر به پنبه برای تولید نخ مخلوط، استحکام نخ کاهش می‌باید. لیکن تولید کنندگانی که استحکام نخ را با توجه به تعداد پارگی نخ در حین تولید (درستگاه تمام تاب) مشخص می‌کنند، معتقدند که استحکام نخ در اثر افزایش مقدار جزئی الیاف پلی‌استر افزایش می‌باید. این تضاد را می‌توان با توجه به تحقیقات بروودی (Brody) [۲۴] پاسخ داد. چگونگی گسترش نخ حین تولید بیشتر در اثر لغزش الیاف روی یکدیگر است. چگونگی پاره‌شدن نخهای تولید شده در اثر اعمال نیرو بیشتر در اثر گسترش الیاف است. هنگامی که پاره‌شدن نخ در اثر لغزش الیاف روی یکدیگر باشد مخلوط کردن الیاف پلی‌استر که معمولاً دارای طولی نسبتاً بلندتر از پنبه می‌باشند، میزان پارگی حین تولید را کاهش می‌دهد در حالی که در نخ شکل گرفته با تاب کافی اختلاف در ازدیاد طول گسیختگی دونوع الیاف باعث کاهش استحکام نخ مخلوط می‌گردد. به نظر می‌رسد که پاره‌شدن نخ در مراحل بافتگی و حین مصرف پارچه بیشتر در اثر گسترش الیاف باشد.

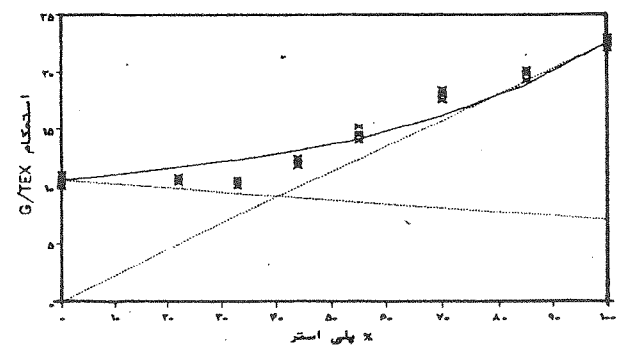
شکل (۴) منحنی تنش کرنش نخهای ۱۰۰٪ پلی‌پروپیلن و ۱۰۰٪ پنبه را نشان می‌دهد. نخ پلی‌پروپیلن دارای ضریب کشسانی اولیه‌ای کمتر از پنبه و ازدیاد طول و تنش گسیختگی



شکل (۴) منحنی تنش کرنش نخهای و نخ پلی‌پروپیلن خالص [۲۷]



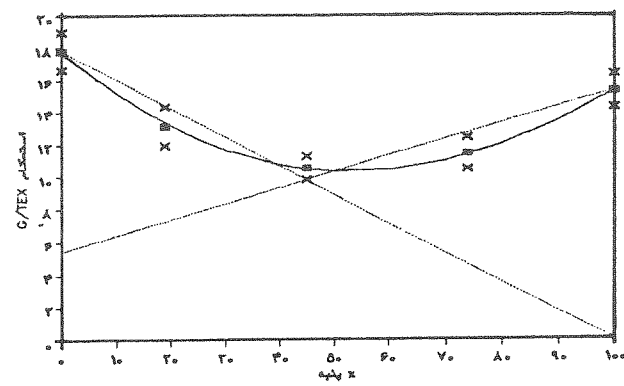
شکل (۲) منحنیهای تنش کرنش نخهای پنبه‌ای و پلی‌استر خالص [۲۸]



شکل (۳) تغییرات استحکام (تنش گسیختگی) نخ مخلوط پنبه - پلی‌استر بر حسب درصد پلی‌استر. خطوط نقطه‌چین از روابط (۳) و خط پر، از رابطه (۵) بدست آمده، ■ میانگین نتایج تجربی و × حدود اعتماد است [۲۸]

می‌گردد تأثیر الیاف پاره شده روی استحکام نخ قابل توجه می‌شود. از این‌رو روابط (۳) نیز نمی‌توانند تأثیرات لازم را منظور نمایند و باید تنش گسیختگی نخ پنبه‌ای را به جهت اختلافی که در محیط پنبه و پلی‌استر دارد یعنی تشی که الیاف پلی‌استر در موقع پاره‌شدن تحمل می‌کنند، ۱۰٪ بیشتر از مقدار اندازه گیری شده از منحنیهای تنش کرنش نخهای خام منظور داشت تا نتایج تجربی با مقادیر محاسبه شده منطبق گردد. بنابراین مقدار Z در روابط (۴) برابر  $2/0$  خواهد بود. مقدار  $0/2$  توسط زورک [۹] و کروشکا (Krucinska) [۲۳] برای نخهای پنبه پلی‌استر نیز پیشنهاد شده است.

منحنی مربوط به رابطه (۵) (رابطه راتنام برای  $7/0 = l$ ) به صورت خط پر در شکل (۳) نیز نشان داده شده است که



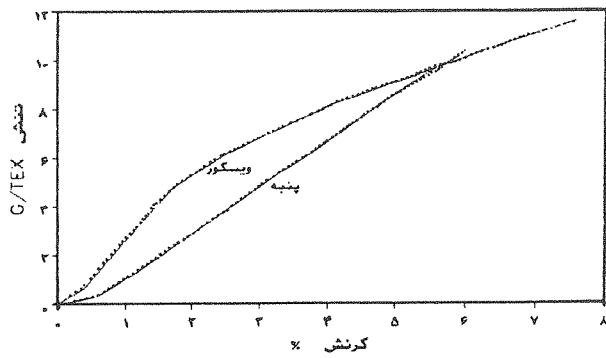
شکل (۵) تغییرات استحکام (تنش گسیختگی) نخ مخلوط پنبه - پلی پروپیلن بر حسب درصد پنبه. خطوط نقطه چین روابط (۳) و خط پر، از رابطه (۵) بدست آمده است.  
■ میانگین نتایج تجربی و × حدود اعتماد است [۲۷].

بیشتر از پنه می باشد. با توجه به منحنیهای فوق و روابط (۳) تغییرات استحکام نخ مخلوط بر حسب درصد یک جزء در شکل (۵) همراه با نتایج تجربی نشان داده شده است. نتایج تجربی با توجه به حدود اطمینان، تفاوتی با مقادیر محاسبه شده از روابط (۴) وقتی  $Z=0$  است (یا رابطه (۳) را نشان نمی دهد). بنابراین در این مخلوط، الیاف پنبه پس از اولین گسترشی در تحمل نیرو نقشی را بازی نمی کند. در حین کشیدن نخ الیاف پلی پروپیلن به راحتی از دیاد طول داده تا منجر به پاره شدن نهایی نخ گردد.

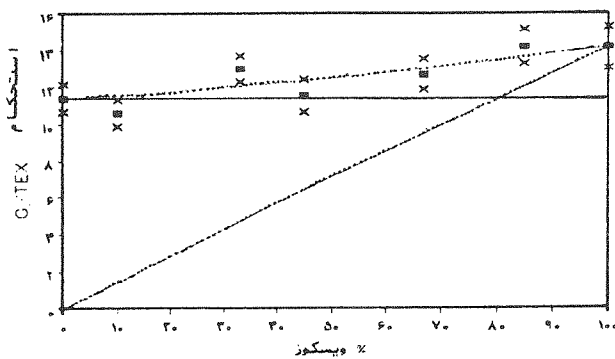
در شکل (۵) رابطه مربوط به راتنم [۷] برای  $Z=0/5$  بصورت منحنی خط پر نشان داده شده است و ملاحظه می گردد این رابطه نیز با نتایج تجربی موافقت لازم را دارد می باشد. شکل (۵) همچنین نشان می دهد که چنانچه بخواهیم با استفاده از مخلوط پنبه و پلی پروپیلن، نخی ستحکمتر از نخ صد درصد پنبه ای تولید کنیم باید بیشتر از ۸۰٪ الیاف پلی پروپیلن در نخ وجود داشته باشد. مانند نخهای مخلوط پنبه پلی استر افزایش مقادیر کمتر پلی پروپیلن به پنبه باعث کاهش بیشتر استحکام نخ می گردد. در این صورت در مقایسه با الیاف پلی استر، الیاف پلی پروپیلن یک مکمل خوب برای الیاف پنبه نیستند. لازم است الیاف پلی پروپیلن قابل اختلاط با پنبه، دارای ضریب کشسانی بیشتری باشد.

شکل (۶) منحنی تنش کرنش نخ پنبه ای و ویسکوز خالص را نشان می دهد. نخ ویسکوز دارای ضریب کشسانی و از دیاد طول گسیختگی بیشتری از پنبه می باشد، لیکن این اختلاف کمتر از اختلاف بین پلی استر و پنبه است. این اختلاف کم باعث شده است که افزایش ویسکوز به پنبه چندان استحکام نخ مخلوط را تغییر ندهد. شکل (۷) منحنی تغییرات استحکام بر حسب درصد پنبه حاصل از روابط (۴) وقتی  $Z=0$  است و نتایج تجربی را نشان می دهد. با توجه به حدود اطمینان ۹۵٪ که در شکل ملاحظه می گردد اختلاف بین نتایج تجربی و مقادیر محاسبه شده از رابطه (۴) وقتی  $Z=0$  است قابل توجه می باشد. اختلاف بین نتایج تجربی و نتایج حاصل از رابطه (۴) برای نخهای با درصد های مختلف بگونه ای است که با تغییر مقدار  $Z$  اختلاف از بین نمی رود. برای این نوع مخلوط مقدار  $Z$  برای تمام انواع مخلوط ها مقدار ثابتی نمی تواند باشد.

اگر رابطه راتنم (Ratnam) [۷] که در قسمت قبل مورد توجه قرار گرفت بکار رود برای مقدار  $Z=0/1$  با نتایج تجربی



شکل (۶) منحنیهای تنش کرنش نخ پنبه ای و ویسکوز خالص [۲۹]

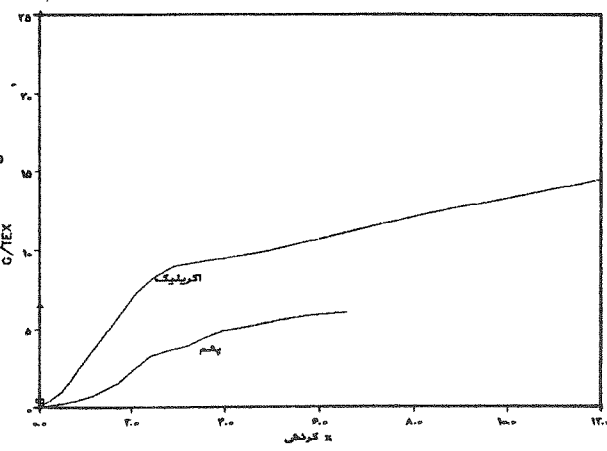


شکل (۷) تغییرات استحکام (تنش گسیختگی) نخ مخلوط پنبه - ویسکوز بر حسب درصد ویسکوز . خطوط پر از روابط (۳) بدست آمده. نقطه چین رابطه راتنم (۷)، × حدود اعتماد، ■ میانگین نتایج تجربی [۲۹].

موافقت لازم را دارا خواهد بود.

نتایج این تجربیات نشان می‌دهد که افزایش ویسکوز به پنهان تا مقدار ۸۰٪ تأثیر چندانی بر افزایش استحکام نخ ندارد.

شکل (۸) منحنیهای تنش کرنش نخهای پشمی و اکریلیکی خالص «مشابه» با نخهای مخلوط را نشان می‌دهد. نخ اکریلیکی دارای ضریب کشسانی و تنش و ازدیاد طول گسیختگی بیشتر از نخ پشمی است. با توجه به منحنیهای تنش کرنش نخهای خام انتظار می‌رود که با افزایش الیاف اکریلیک استحکام نخ مخلوط همواره افزایش یابد. در شکل (۹) ارتباط بین درصد مخلوط و استحکام که از منحنیهای تنش کرنش با استفاده از روابط (۴)



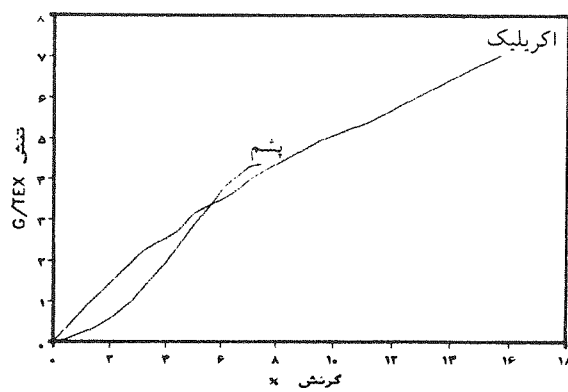
شکل (۸) منحنیهای تنش کرنش نخهای پشمی و اکریلیکی قبل از جوشاندن [۳۰]

برای  $Z=0$  محاسبه شده همراه با نتایج تجربی نشان داده شده است. بین نتایج محاسبه شده از روابط (۴) و نتایج تجربی موافق وجود دارد. از این‌رو در این مخلوط انتظار نمی‌رود که یکی از الیاف چند بار گسته شود و یا الیاف پاره شده نقشی در تحمل تنش اعمالی داشته باشد.

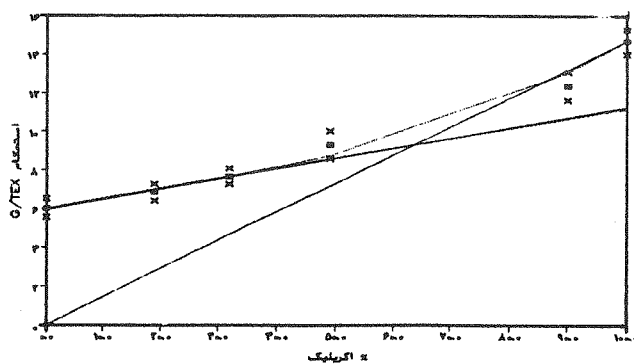
نخهای مخلوط اکریلیک و پشم چنانچه مانند نخهای دیگر در آب جوشانده شوند به مقدار بیشتری تقلیل طول می‌دهند و این امر به علت تغییر در ساختار فیزیکی این الیاف است و به همین دلیل تنش گسیختگی کاهش و ازدیاد طول گسیختگی افزایش می‌یابد. در این صورت روند تغییرات استحکام بر حسب درصد مخلوط متفاوت خواهد بود. منحنیهای تنش کرنش نخهای اکریلیک و پشم که همراه با نخهای مخلوط به مدت ۵ دقیقه در آب جوشانده شده‌اند در شکل (۱۰) نشان داده شده است.

تغییرات استحکام که از منحنیهای فوق با استفاده از روابط (۴) برای  $Z=0$  محاسبه شده همراه با نتایج تجربی در شکل (۱۱) نشان داده شده است. به طوری که ملاحظه می‌گردد اگرچه افزایش اکریلیک همواره باعث افزایش استحکام نخ مخلوط می‌گردد لیکن در کاربرد (پس از عملیات تر) چنین تأثیری را از خود نشان نمی‌دهد. افزایش الیاف اکریلیک تا حد ۵۰٪ تأثیر چندانی بر افزایش استحکام نخ مخلوط ندارد.

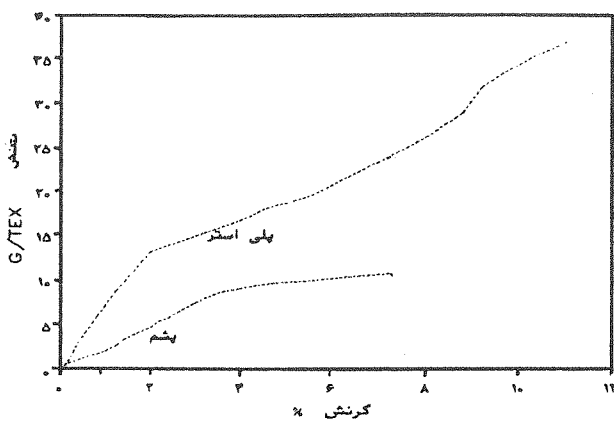
در شکل‌های (۹) و (۱۱) رابطه راتنام [۷] به ترتیب برای قبل از جوشاندن  $d=0.7$  و بعد از جوشاندن  $d=1/2$  رسم شده است. ملاحظه می‌گردد که این رابطه نیز می‌تواند ارتباط بین درصد مخلوط و استحکام را بیان نماید.



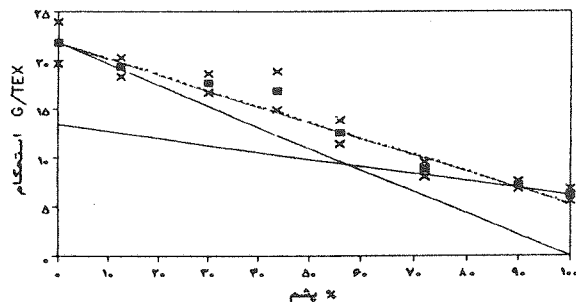
شکل (۱۰) منحنی تنش کرنش نخ پشمی و اکریلیکی خالص بعد از جوشاندن [۳۰]



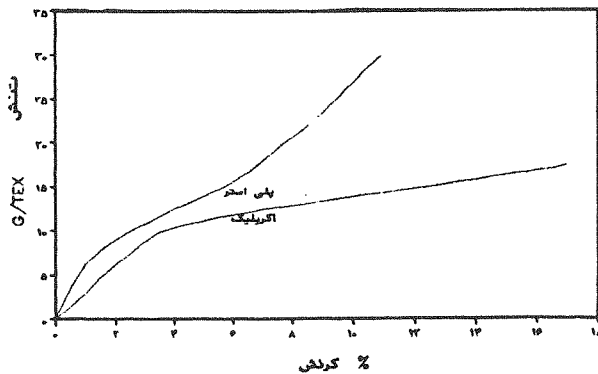
شکل (۹) تغییرات استحکام (تنش گسیختگی) نخ مخلوط پشم - اکریلیک بر حسب درصد اکریلیک قبل از جوشاندن. خطوط از روابط (۴) محاسبه شده، خط نقطه چین رابطه (۸)، ■ میانگین نتایج تجربی و x حدود اعتماد است [۳۰].



شکل (۱۲) منحنی تنش کرنش نخهای پشمی و پلی استر  
خالص [۳۱]



شکل (۱۳) تغییرات استحکام (تش گسیختگی) نخ مخلوط پشم -  
پلی استر بر حسب درصد پشم در نخ. خطوط پر از  
روابط (۴) با  $Z=0$  ، خط نقطه چین با  $0/8$   
محاسبه شده، ■ میانگین نتایج تجربی و  $\times$  حدود  
اعتماد است [۳۱].



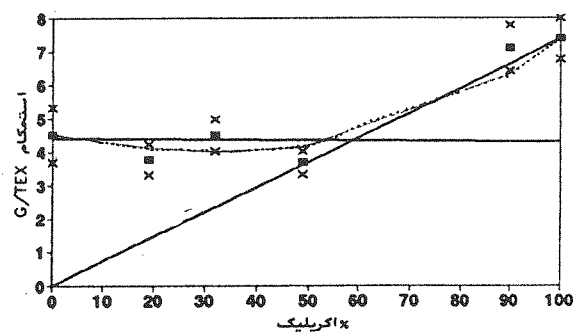
شکل (۱۴) منحنیهای تنش کرنش نخهای اکریلیک و پلی استر  
خالص قبل از جوشاندن [۳۲]

شکل (۱۲) منحنی تنش کرنش نخهای پشمی و پلی استر  
خالص را نشان می دهد. نخ پلی استر دارای ضریب کشسانی، تنش  
و ازدیاد طول گسیختگی به مراتب بیشتر از نخ پشمی است.

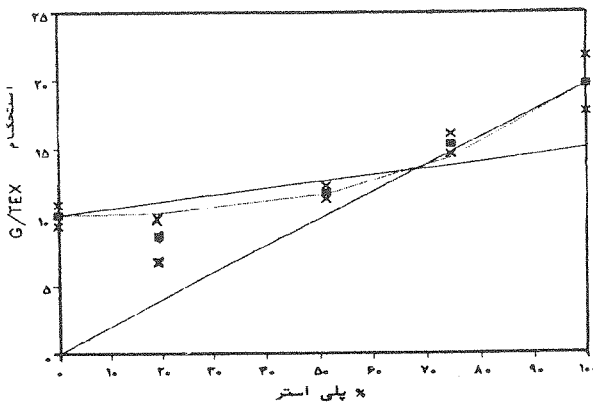
شکل (۱۳) نتایج تجربی همراه با مقادیر محاسبه شده  
استحکام از منحنیهای تنش کرنش با استفاده از روابط (۴) برای  
وقتی که  $Z=0$  است را نشان می دهد. به طوری که ملاحظه  
می گردد با افزایش پلی استر به پشم همواره استحکام نخ افزایش  
می یابد و با افزایش مقدار  $Z$  می توان مقادیر محاسبه شده و  
تجربی را بهم نزدیک نمود. چنانچه حدود اعتماد ۹۵٪ برای  
استحکام نخهای خالص در نظر گرفته شود نتایج تجربی با مقادیر  
محاسبه شده تطابق لازم را خواهد داشت. در این صورت به نظر  
می رسد که الیاف پشم در هنگام اعمال نیرو چند بار دچار پارگی  
گرددند. رابطه (۵) نمی تواند با نتایج تجربی تطبیق نماید.

شکل (۱۴) منحنیهای تنش گرنش نخهای اکریلیک و  
پلی استر خالص را نشان می دهد. به طوری که ملاحظه می گردد  
نخ پلی استر دارای ضریب کشسانی و استحکام بیشتر و ازدیاد  
طول تا حد پارگی کمتر از نخ مشابه اکریلیک است. در این  
صورت همانطور که در شکل (۱۵) نشان داده شده است افزایش  
پلی استر باعث کاهش استحکام تا حدود درصد مخلوط  
می گردد. پس از آن افزایش پلی استر به الیاف اکریلیک همواره  
باعث افزایش استحکام نخ مخلوط می گردد.

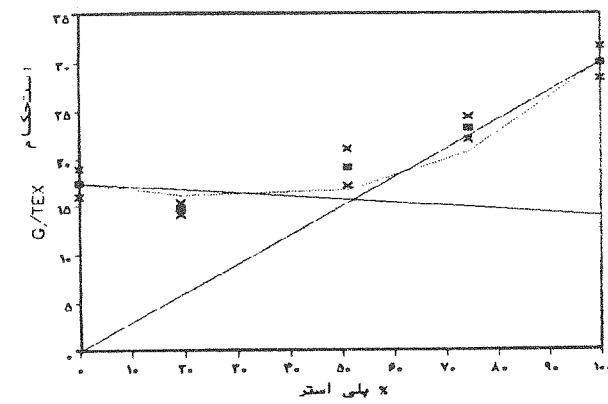
تأثیر درصد الیاف پلی استر بر خواص نخ بعد از جوشاندن  
نخ همانطور که در شکلهای (۱۶) و (۱۷) نشان داده شده است  
متفاوت می گردد. در این حالت افزایش درصد پلی استر همواره  
استحکام نخ مخلوط را افزایش می دهد.



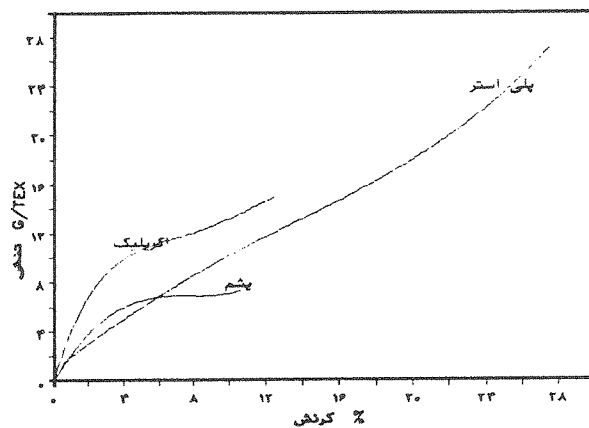
شکل (۱۱) . تغییرات استحکام (تش گسیختگی) نخ مخلوط  
اکریلیک پشم بر حسب درصد اکریلیک بعد از  
جوشاندن. خطوط پر از روابط (۳) محاسبه شده، خط  
نقطه چین رابطه (۵)، ■ میانگین نتایج تجربی و  $\times$   
حدود اعتماد است [۳۰].



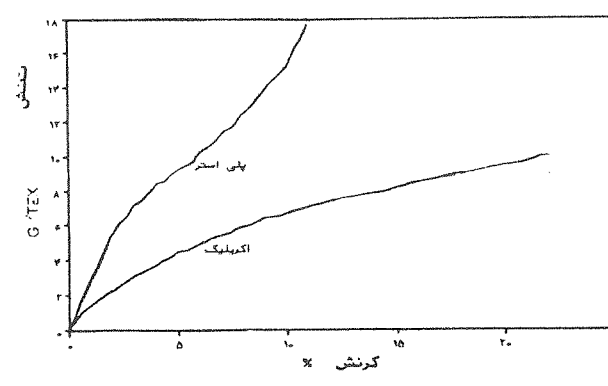
شکل (۱۷) تغییرات استحکام (تنش گسیختگی) بر حسب درصد پلی استر بعد از جوش. خطوط پر از روابط (۴)، خط نقطه چین از رابطه (۵) محاسبه شده، ■ میانگین نتایج تجربی و X حدود اعتماد است [۳۲]



شکل (۱۵) تغییرات استحکام (تنش گسیختگی) نخ مخلوط اکریلیک - پلی استر بر حسب درصد پلی استر قبل از جوش. خط پر از رابطه (۴)، Z=0، خط نقطه چین از رابطه (۵) محاسبه شده، ■ میانگین نتایج تجربی و X حدود اعتماد است [۳۲]



شکل (۱۸) منحنیهای تنش کرنش نخهای پشمی، اکریلیکی و پلی استر خالص [۳۳]



شکل (۱۶) منحنیهای تنش کرنش نخهای اکریلیک و پلی استر بعد از جوشاندن [۳۲]

**۱۰- نخهای سه جزئی**  
منحنیهای تنش کرنش نخهای پشم، پلی استر و اکریلیک خالص در شکل (۱۸) نشان داده شده است. مقادیر  $S_A = 7/3$  و  $S_{C/A} = 10/67$ ،  $S_B = 13/6$ ،  $S_C = 27/1$ ،  $S_B = 14/98$  از شکل (۱۸) استخراج شده و در رابطه (۷) قرار داده شده و برای وقی که محدودرات اختلاف بین مقادیر استحکام محاسبه شده و استحکام اندازه گیری شده نخهای مخلوط کمترین است مقدار  $\% TM = 31(1ex^{0.5} \times 1pc)$  مقدار  $Z$  صورت برای نخ با ضریب تاب

به نظر می رسد که قبل از جوشاندن در درصد مخلوط  $50\%$  الیاف پلی استر پس از پاره شدن در تحمل تنش شرکت می نمایند و بعد از جوشاندن با توجه به شکل (۱۷) چنین رفتاری را بهتر از خود نشان می دهند. هر گاه  $Z = 25/2$ ، انتخاب گردد مقادیر تجربی با مقادیر محاسبه شده که از روابط (۴) نخهای خالص اکریلیک و پلی استر بدست می آید نزدیکتر می گردد و رابطه (۵) نیز نمی تواند تطابق لازم را داشته باشد.

قرارداده و ارتفاع منشور متناسب با تنشیهای مورد نظر نخهای خالص اختیار شود، مشابه با طریقی که برای نخهای ساخته شده از دو نوع الیاف انجام گرفته، سطح  $X_a R X_p T X_w S O$  بدست می‌آید.

بدینهی است که هر نقطه درون مثلث ABC نشان‌دهنده مقدار الیاف در نخ مخلوط از سه نوع می‌باشد و فاصله هر نقطه در سطح  $X_a R X_p T X_w S O$  از مثلث ABC نشان‌دهنده استحکام نخ مخلوط خواهد بود.

در شکل (۱۹)  $X_p$ ،  $X_w$  و  $X_A$  به ترتیب نشان‌دهنده استحکام نخهای پلی‌استر، پشم و اکریلیک خالص،  $X_{A-W}$  نشان‌دهنده تنش روی الیاف اکریلیک و پلی‌استر هنگام پاره‌شدن الیاف پشم و  $X_{P-A}$  تنش روی الیاف پلی‌استر هنگام پاره‌شدن الیاف اکریلیک می‌باشد. بوسیله چنین شکلی به سهولت می‌توان درصد اجزاء در نخهایی که دارای استحکامی در یک محدوده معین هستند را با تعیین تصویر سطح مربوطه روی مثلث ABC بدست آورد. در شکل (۱۹) تا ۶-۱-۱ تا ۶-۶ حدود نتایج تجربی را نشان می‌دهد.

### ۱۱- ازدیاد طول گسیختگی

شکل (۲۰) تغییرات درصد ازدیاد طول گسیختگی نخهای

برابر  $35/0$  و برای نخ با ضریب تاب  $TM=36$  ( $\text{tex}^{0.5} \times \text{tpc}$ ) مقدار Z برابر  $39/0$  می‌گردد.

مقدار استحکام نخهای مخلوط که با استفاده از روابط (۷) و (۸) فوق‌الذکر محاسبه شده است همراه با مقدار متناظر اندازه‌گیری شده در جدول (۲) نشان داده شده است.

همانطور که در جدول (۲) نشان داده شده است به جز نخ مخلوط  $50/50$  اکریلیک - پشم مقدار استحکام محاسبه شده با مقدار اندازه‌گیری شده توافق قابل توجهی دارد. برای نخ مخلوط اکریلیک پشم  $50/50$  عدم تبعیت از روند معمولی نیز در بعض مربوطه قبل نیز ملاحظه گردید.

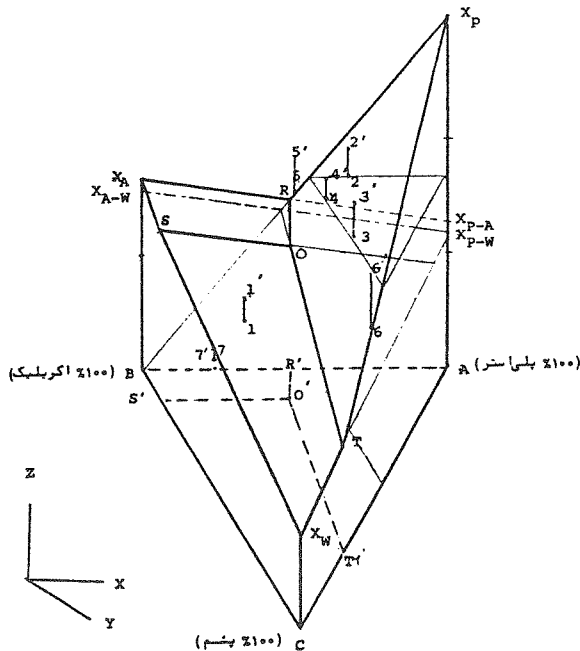
зорک [۹] برای نمایش تغییرات استحکام نخهای مخلوط سه جزئی، روش مورد استفاده معمول در تعادل حالت‌های مجموعه‌های سه جزئی در شیمی و فیزیک [۲۶] را پیشنهاد می‌نماید. همانطور که در شکل (۹) نشان داده شده است مثلث ABC یک مثلث متساوی‌الاضلاع است که ارتفاع آن معادل با  $100\%$  انتخاب می‌گردد. مجموع فواصل هر نقطه درون این مثلث از سه ضلع برابر ارتفاع مثلث خواهد بود بنابراین اگر هر رأس مثلث نشان‌دهنده نخهای خالص باشد، نقاط روی اضلاع نشان‌دهنده درصد هر یک از الیاف در نخهایی است که از دو نوع الیاف ساخته شده‌اند. چنانچه این مثلث را قاعده یک منشور

جدول (۲) نتایج تجربی و محاسبه شده استحکام نخهای مخلوط پشم - پلی‌استر - اکریلیک [۲۵]

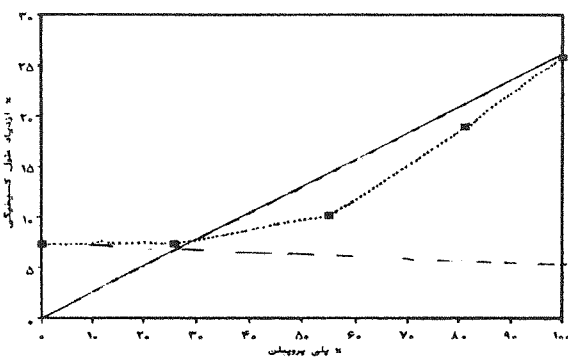
استحکام اندازه‌گیری شده $\text{g/tex}$	استحکام محاسبه شده $\text{g/tex}$	مشخصات نخ %		
		پلی‌استر - پشم - اکریلیک	پلی‌استر - پشم	اکریلیک
TM=36	TM=31	$z=0/39$ TM=36	$z=0/30$ TM=31	
$12/0 \pm 0/5$	$12/8 \pm 0/6$	11/8	12/1	۳۴/۳۳/۳۴
$20/5 \pm 1/0$	$19/8 \pm 0/8$	19/5	19/6	۱۶/۱۷/۶۷
$17/5 \pm 0/7$	$16/9 \pm 0/7$	17/2	17/4	۱۴/۲۸/۵۸
$18/0 \pm 0/7$	$16/8 \pm 0/7$	17/6	17/8	۲۸/۱۴/۵۸
$17/1 \pm 0/7$	$15/4 \pm 0/6$	16/1	16/5	۵۰/۱۰۰/۵۰
$15/3 \pm 0/6$	$15/6 \pm 0/7$	14/8	15/0	۰۰/۵۰/۵۰
$10/3 \pm 0/4$	$9/7 \pm 0/3$	9/0	9/0	۵۰/۵۰/۰۰

\* حدود اعتماد در سطح احتمال ۹۵%

باتوجه به مشکلاتی که در اندازه‌گیری ضریب کشسانی وجود دارد اندازه‌گیری روی نخهای مخلوط با پشم صورت نگرفت. برای نخ مخلوط پلی استر-پشم - اکریلیک تفاوت قابل قبول آماری بین نتایج اندازه‌گیری شده محاسبه شده ملاحظه نگردیده است.



شکل (۱۹) تغییرات استحکام نخهای مخلوط پلی استر - پشم - اکریلیک بر حسب درصد های مختلف اجزاء [۲۳]



شکل (۲۰) تغییرات افزایش طول گسیختگی نخ مخلوط پنبه - پلی پروپیلن بر حسب درصد پلی پروپیلن در نخ. خطوط رابطه (۴) و میانگین نتایج تجربی است [۲۷]

مخلوط پنبه - پلی پروپیلن بر حسب درصد پلی پروپیلن را نشان می دهد. به طوری که ملاحظه می شود با افزایش پلی پروپیلن درصد افزایش طول گسیختگی نخ افزایش می یابد. در این نوع مخلوط تغییر از یک افزایش طول گسیختگی به دیگری به تدریج صورت می گیرد.

برای نخ تولید شده تا درصد ۵۵٪ پلی پروپیلن بین نتایج تجربی و روندی که روابط (۴) برای افزایش طول گسیختگی پیش‌بینی می کند تطابق قابل قبول وجود ندارد و نیز تا ۴۵٪ پنبه، نخ حاصله می باشد افزایش طول گسیختگی پنبه را داشته باشد و سپس افزایش طول گسیختگی به ۲۵٪ که مربوط به نخ پلی پروپیلن خالص است بر سد.

شکل (۲۱) افزایش طول گسیختگی نخهای مخلوط پنبه - ویسکوز را نشان می دهد. افزایش درصد ویسکوز افزایش طول گسیختگی نخ را افزایش می دهد لیکن روند این تغییر بستگی به نمره نخ دارد.

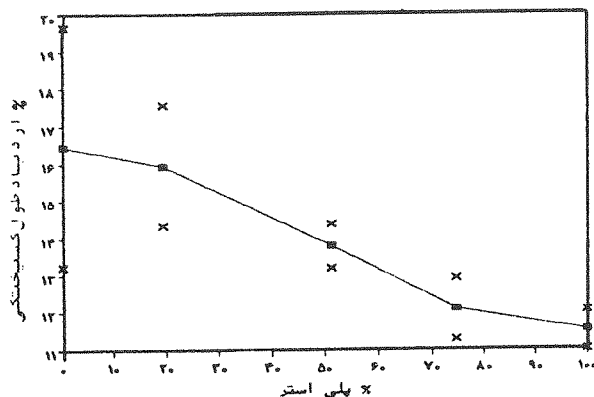
شکل (۲۲) تغییرات افزایش طول گسیختگی نخهای مخلوط پشم - پلی استر را نشان می دهد. به طوری که ملاحظه می گردد عدم تبعیت از روابط (۴) قابل توجه است. به نظر می رسد که وقتی درصد پلی استر از ۴۰٪ تجاوز می کند افزایش طول گسیختگی از یک مقدار حدود ۶٪ مربوط به پشم به ۱۲٪ مربوط به پلی استر تغییر ناگهانی می دهد.

شکلهای (۲۳) و (۲۴) تغییرات افزایش طول گسیختگی نخهای مخلوط اکریلیک - پلی استر را بر حسب درصد پلی استر بعد و قبل از جوشاندن نشان می دهد. به طوری که ملاحظه می گردد افزایش پلی استر بطور تدریجی افزایش طول گسیختگی را کاهش می دهد.

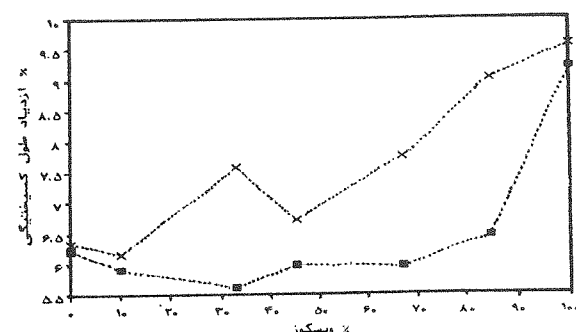
## ۱۲- ضریب کشسانی

شکل (۲۵) تغییرات ضریب کشسانی را برای نخهای مخلوط پنبه پلی پروپیلن بر حسب درصد پنبه همراه با خط حاصل از معادله برگشت (Regression) با ضریب ارتباط  $R = 0.99$  نشان می دهد.

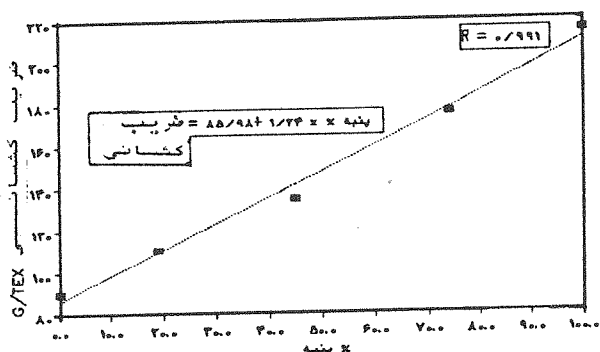
در شکل (۲۶) تغییرات ضریب کشسانی برای نخهای مخلوط ویسکوز - پنبه بر حسب درصد ویسکوز نشان داده شده است. به طوری که ملاحظه می گردد تبعیت ضریب کشسانی نخ مخلوط از قانون ساده مخلوطها با توجه به خطاهایی که ناشی از اندازه‌گیری است قابل قبول می باشد.



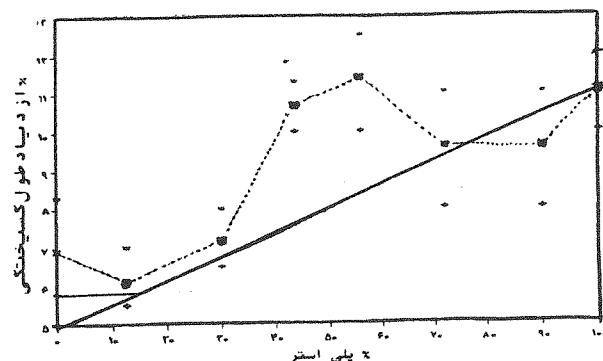
شکل (۲۴) تغییرات درصد ازدیاد طول گسیختگی نخهای مخلوط اکریلیک - پلی استر بر حسب درصد پلی استر (قبل از جوشاندن). ■ میانگین و x حدود اعتماد است [۳۲]



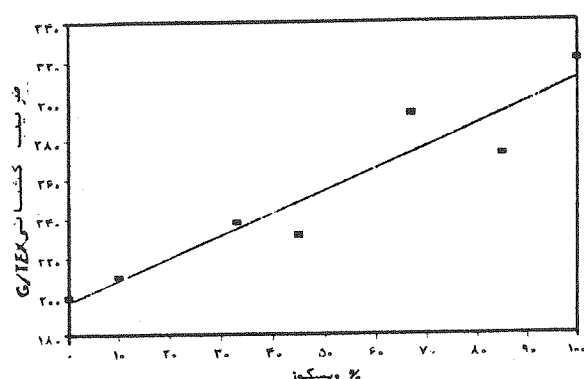
شکل (۲۱) تغییرات ازدیاد طول تا حد پارگی نخهای مخلوط پنیه - ویسکوز بر حسب درصد ویسکوز، x نخهای نمره ۵۱  
■ نخهای نمره ۳۴ و ■ نخهای نمره ۲۱ تکس [۲۹]



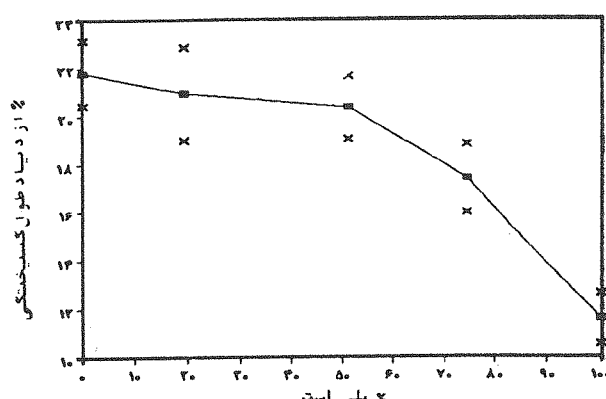
شکل (۲۵) تغییرات ضریب کشسانی برای نخ مخلوط پنیه - پلی پروپیلن بر حسب درصد پنیه. ■ میانگین نتایج تجربی و خط نقطه‌چین رابطه همبستگی می‌باشد [۲۷]



شکل (۲۲) تغییرات درصد ازدیاد طول گسیختگی نخهای مخلوط پنیه - پلی استر بر حسب درصد پلی استر. خطوط پرروابط (۳)، ■ میانگین و x حدود اعتماد است [۳۱]



شکل (۲۶) تغییرات ضریب کشسانی برای نخ مخلوط ویسکوز - پنیه بر حسب درصد ویسکوز در نخ. ■ میانگین نتایج تجربی و خط رابطه همبستگی می‌باشد [۲۹]



شکل (۲۳) تغییرات درصد ازدیاد طول گسیختگی نخهای مخلوط اکریلیک - پلی استر بر حسب درصد پلی استر (بعد از جوشاندن). ■ میانگین و x حدود اعتماد است [۳۲]

## ۱۳- نتیجه‌گیری

در این مقاله خواص مکانیکی کششی نخهای مخلوط مورد توجه قرار گرفت. نخهای مخلوطی از دو نوع الیاف متفاوت، با ضریب تابهای تزدیک به ضریب تاب بهینه بروشهای ریسنده‌گی متداول تهیه شده و منحنی تنش کرنش آنها اندازه‌گیری گردید. ملاحظه شد که استحکام (نشش در هنگام پاره شدن) نخهای مخلوط را می‌توان از استحکام نخهای مشابه که از هر یک از الیاف ساخته شده‌اند محاسبه نمود. روابط مورد استفاده برای درنظر گرفتن تأثیر الیاف پاره شده و اثر هندسه نخ، شامل ضرایب تجربی  $a$  و  $b$  می‌گردید که مقدار آن برای انواع مخلوط‌های تعیین شد. مقدار  $a$  و  $b$  بستگی به ساختار نخ و درصد مخلوط در نخ داشت.

مقدار  $a$  و  $b$  برای مخلوط‌های متفاوت آزمایش شده در جدول (۳) نشان داده شده است.

از دیاد طول گسیختگی نخهای مخلوط به نحو مطلوب از روابط عمومی اشاره شده تعیین نمی‌کرد. در مواردی از دیاد طول گسیختگی از یک مقدار مربوط به یکی از انواع الیاف به مقدار دیگری مربوط به الیاف دیگر می‌رسید. با توجه به آزمایشات انجام گرفته و امکانات موجود، امکان ارائه رابطه مستدلی فراهم نگردد.

ضریب کشسانی نخهای مخلوط که از منحنیهای مربوط به سهولت قابل سنجش بود، از رابطه ساده مخلوط‌های، به علت کم بودن کرنش، بخوبی قابل محاسبه است. لیکن همیشه به علت لغزش جزئی الیاف روی یکدیگر در آزمایش، شبیه منحنی با وسایل موجود قابل اندازه‌گیری نبود و همیشه خطای آزمایشات بیش از آنچه که انتظار می‌رفت می‌گردید، شاید با استفاده از

## مراجع

- [1] R.F. Dyer, *High Tenacity Polyester Fibers, Physical Properties of Cotton Blends, Modern Textile Magazine, AATT 1967*, P. 73.
- [2] M.J. Coplan, *Fiber Translation in Blends*. *Modern Textile Magazine*, 1959, P. 39.
- [3] F.T. Wallenberger, *Dacron/Orlon Blends in Apparel Product Value, Wear Comfort, Energy Saving, and Environmental Aspects*, *Textile Rev. J.*, 50, 1980, P. 285-289.
- [4] J.W.S. Hearle, P.Grosberg and S. Backer, "Structural Mechanics of Fiber, Yarn and Fabrics". Vol. 1, Wily Interscience, New York, 1969.
- [5] I. Frydrych, *Strength Properties of Cotton Blend Yarns*, *Textile Res. J.*, 60, 1994, PP.198-208.
- [6] A. Kemp, and J.D. Owen, *The Strength and Behavior of Nylon/Cotton Blended Yarns*

جدول (۳) مقدار ضریب  $a$  و  $b$  برای نخهای متفاوت

$d$	$z$	نوع نخ
نامشخص	۰/۲	پنه - پلی استر
۱/۵	۰/۰	پنه - پلی پروپیلن
۰/۱	متغیر	پنه - ویسکوز
قبل از جوش: ۰/۷ بعد از جوش: ۱/۲	۰/۰	پشم - اکریلیک
قبل از جوش: ۱/۲ بعد از جوش: ۰/۹	۰/۸	پشم - پلی استر
قبل از جوش: ۱/۲ بعد از جوش: ۰/۹	۰/۲۵	پلی استر - اکریلیک
نامشخص	۰/۳۹ تا ۰/۳۵	پشم - پلی استر اکریلیک

وسائل اندازه‌گیری دقیقتر این مشکل را بتوان برطرف ساخت. با توجه به کارهای انجام شده بنظر می‌رسد که تعیین روابط مربوط به نخهایی که از دو نوع الیاف ساخته شده‌اند به سه نوع، به روش ترسیمی قابل انجام باشد.

## ۱۴- تشکر و قدردانی

ارائه این مقاله بدون همکاری و همیاری بسیاری از دانشجویان، کارکنان و اعضاء هیئت علمی دانشکده مهندسی نساجی که طی سالیان دراز برای تولید نخ و آزمایشات، زحمات زیادی را متحمل شده‌اند ممکن نمی‌شد از این رو بر خود لازم می‌دانیم که تشکرات قلبی خود را از آنها ابراز داریم.

- Undergoing Strain. J. Textile Inst. 46, 1955, P.684.*
- [7] *Ratnam, T.V., K.S. Shankaranarayana, C. Underwood, and K. Govindarajulu, Prediction of the Quality of Blended Yarns from That of the Individual Components, Textile Res. J. 38, 1968, P.360.*
- [8] *C.G. Monego and S. Backer, Letter To Editor, Tensile Rupture of Blended Yarns, Textile Res. J. 38, 1968, P. 762.*
- [9] *W. Zurek. "Yarn Structure", Translated By The Department Of Agriculture, USA, 1972.*
- [10] *A. El-Shiekh, the Dynamic Modulus and Some Other Properties of Viscose / Polyester Blends, Textile Res. J. 44, 1974, P. 343.*
- [11] *P.R. Lord, M.H. Mohamed and T.R. Egambaram, The Characteristics of Blended Polyester/Cotton Yarns Made by Ring and Open-End spinning, ASME Publication, Paper No. 77 Tex - 4, 1977.*
- [12] *Y.K. Kim, and A. El-Shiekh, Tensile Behavior of Twisted Hybrid Fibrous Structured, Part 1: Theoretical Investigation, Textile Res. J. – 54, 1984, P. 526.*
- [13] *Y.K. Kim, and A. El-Shiekh, Tensile Behavior of Twisted Hybrid Fibrous Structure, Part 2: Experimental Studies, Textile Res. J. 54, 1984, P. 534.*
- [14] *J.D. Owen, The Strength and Stress - Strain Behavior of Blended Yarn, J. Textile Inst. 53, 1962, P. T144.*
- [15] *W.J. Hamburger, The Industrial Application of the Stress- Strain Relationship, J. Textile Inst. 40, 1949, P. 700.*
- [۱۶] م-کایان، ا. طاهری عراقی، اصول ریسمانگی، ۸۳۶۴
- [17] *L.R.G. Treloar and G. Riding, A Theory of the Stress Strain Properties of Continues*
- Filament Yarns, J. of Textile Inst. 54, 1963, P.T 156.*
- [18] *P.Postle, G. A. Carnaby and S. de Jong, "The Mechanics of Wool Structures", Ellis Horwood Limited, New York, 1988.*
- [19] *C.C. Cheng, J.L. Cowart, B. L. McGill, J.E. Spruiell and J.L. White, Scanning Electron Microscopy Study of the Deformation of Staple Yarns: Cotton, Polyester and Cotton/Polyester Blends, Textile Res. J., 45, 1975, P.414-418.*
- [20] *F.T. Pierce, Tensile Test For Cotton, Weakest Link, J. Textile Inst. 26, 1949, T 355-T 368.*
- [21] *W.E. Morton and J.W.S. Hearle, "Physical Properties of Textile Fibers," Second Edition, Textile Inst. London, 1976.*
- [22] *Booth J.E., "Principle of Textile Testings", National Trade Press Ltd. London, 1961.*
- [23] *I. Krucinska, Fiber Blending Irregularities in Cross Sections and On Yarn Surfaces in Relation to Yarn Properties, Textile Res. J. 58, 1988, P. 291.*
- [24] *H. Brody, The Breakage of Staple Yarns, Textile Res. J. 49, 1979, P. 516-522.*
- [25] *M.H. Kish and F. Moayery, Mechanical Properties of Wool/Acrylic/Polyester Blended Yarn, 31st International Conf. of Textile Science, Liberec. Czech Republic, 1993.*
- [26] *G.W. Castellan. "Physical Chemistry: Second Edition" Addison - Wesley Publishing Co., New York, 1971.*
- [۲۷] علاموضا صالح علوی: "تولید و بررسی ویژگیهای نخهای مخلوط پنبه و پلی بروپیلن"، پروزه کارشناسی ارشد، دانشکده مهندسی ناجی دانشگاه صنعتی امیرکبیر، ۱۳۶۸
- [۲۸] محمد معروفی: "تولید و بررسی خواص نخهای مخلوط پنبه/پلی استر"، پروزه کارشناسی ارشد، دانشکده مهندسی ناجی دانشگاه صنعتی امیرکبیر، ۱۳۶۶

- . ۱۳۶۵ [۳۲] هوشنگ نصرتی و اسفندیار اختیاری؛ "تولید و بررسی خواص نخهای مخلوط پنبه و ویسکوز"، پژوهه کارشناسی ارشد، دانشکده مهندسی نساجی دانشگاه صنعتی امیرکبیر، ۱۳۶۶.
- . ۱۳۶۸ [۳۰] مجتبی کریمی و رحمان اخلاقی؛ "تولید و بررسی ویژگیهای نخهای مخلوط پشم و اکریلیک"، پژوهه کارشناسی، دانشکده مهندسی نساجی دانشگاه صنعتی امیرکبیر، ۱۳۶۸.
- . ۱۳۷۰ [۳۱] محمد مهدی آرسته و سیروس مستقیمی؛ "تولید و بررسی خواص فیزیکی نخهای مخلوط پشم و پلی استر" پژوهه کارشناسی، دانشکده مهندسی نساجی دانشگاه صنعتی امیرکبیر،
- [۳۳] فرهاد معیری؛ "مکانیک نخهای مخلوط از سه نوع الیاف"، پژوهه کارشناسی ارشد، دانشکده مهندسی نساجی دانشگاه صنعتی امیرکبیر، ۱۳۷۰.